

УДК 538.53:538.221:539.23

РАСЧЕТ САМОИНДУКЦИИ  
ПЛЕНОЧНОГО КОЛЬЦЕВОГО ИНДУКТИВНОГО ЭЛЕМЕНТА

Ю.Л. Данилевский, И.С. Лискер, А.А. Селезнев

В данной работе проводится расчет самоиндукции  $\Delta$  модели пленочного кольцевого индуктивного элемента. Эта модель по своим геометрическим параметрам близка к реальным образцам, полученным на основе технологии, описанной в работе [I]. Поэтому оказывается целесообразным сравнить расчетные данные с результатами измерения самоиндукции на серии опытных образцов. Так как толщины диэлектрических и ферромагнитных слоев, находящихся внутри обмотки, малы, то для расчетной модели без большой погрешности можно принять, что все витки обмотки лежат в одной плоскости. Схематически замкнутая пленочная обмотка индуктивного элемента изображена на рис. I, а. Рис. I, б дает представление об отдельном фрагменте обмотки с указанием необходимых для выполнения вычислений обозначений:

- $R_b$  - внешний радиус обмотки,  
 $R_i$  - внутренний радиус обмотки,  
 $\Delta$  - средняя ширина проводящего слоя,  
 $\alpha$  - средний угловой размер радиального участка проводника.

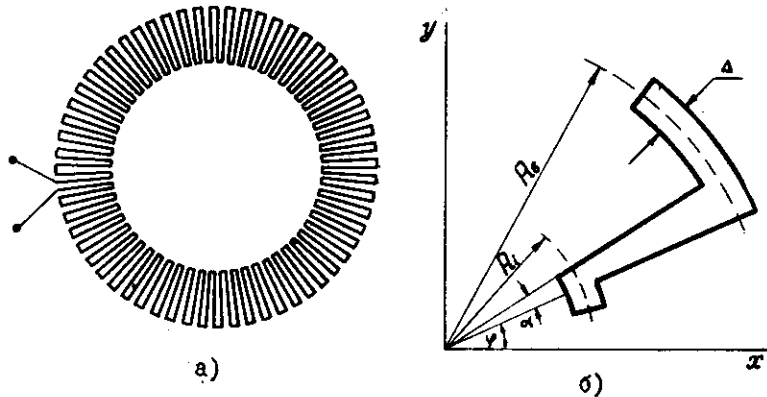


Рис. I

- а). Конфигурация контура модели индуктивного элемента.  
б). Элементарный период модельного контура.

Оценим сначала только самоиндукцию обмотки  $L$  без учета ферромагнитного материала в зазоре. Для выполнения расчета воспользуемся известной формулой самоиндукции [2]:

$$L = \frac{1}{I^2} \iint_{vv'} \frac{\vec{j}(\vec{z}) \vec{j}(\vec{z}')}{|\vec{z} - \vec{z}'|} d\vec{z} d\vec{z}', \quad (1)$$

где  $|\vec{z} - \vec{z}'|$  - расстояние между точками с координатами  $\vec{z}$  и  $\vec{z}'$  внутри проводящей обмотки объемом  $v$ ;  $\vec{z}$ ,  $\vec{z}'$  - радиус-векторы в цилиндрической системе координат, начало которой совпадает с центром симметрии модели, а ось  $x$  перпендикулярна плоскости чертежа рис. I,  $j(\vec{z})$  - плотность тока в точке  $\vec{z}$ ,  $I$  - полный ток через обмотку. Удобно расчленить величину  $L$  на три слагаемых:

$$L = L_{zz} + L_{\varphi\varphi} + 2M_{z\varphi}, \quad (2)$$

где  $L_{zz}$  и  $L_{\varphi\varphi}$  - коэффициенты самоиндукции, определяемые только соответственно радиальной ( $j_z(\vec{z})$ ) и азимутальной ( $j_\varphi(\vec{z})$ ) плотностями тока в точке  $\vec{z}$ ,  $M_{z\varphi}$  - коэффици-

ент взаимоиндукции между  $j_z$  и  $j_\varphi$ . Воспользовавшись разложением

$$\frac{1}{|\vec{z} - \vec{z}'|} = \frac{1}{\sqrt{\rho\rho'}} [Q_{-1/2}(ch\eta) + 2 \sum_{m=1}^{\infty} Q_{m-1/2}(ch\eta) \cos m(\varphi - \varphi')],$$

$$ch\eta \equiv [\rho^2 + \rho'^2 + (z - z')^2]/2\rho\rho'$$

и интегриру выражения для  $L_{zz}$  на основе формулы (1) по  $\varphi$  и  $\rho'$ ,  $z$  и  $z'$  при условии  $R_i \gg D$  ( $D$  - толщина витков), получим:

$$L_{zz} = \frac{\pi}{\Delta^2} \left( \frac{4}{\pi} \right)^2 \int_{R_i}^{R_b} d\rho \int_{R_i}^{R_b} d\rho' \sum_{k=0}^{\infty} [Q_{(2k+1)N-3/2}(ch\eta) + Q_{(2k+1)N+1/2}(ch\eta)] \frac{\sin(2k+1)\alpha N}{2k+1}, \quad (3)$$

где  $N$  - число витков в модели,  $Q_\nu(x)$  - присоединенная функция Лежандра второго рода.

Нетрудно показать, используя свойства функции  $Q_\nu(x)$ , что при  $N \gg 1$  и  $R_b - R_i \ll R_i$

$$Q_{(2k+1)N-3/2}(ch\eta) + Q_{(2k+1)N+1/2}(ch\eta) \approx 2K_0[(2k+1)N\eta],$$

где  $K_0(x)$  - цилиндрическая функция ниного аргумента. Если предположить, что  $\alpha \approx \Delta/2\sqrt{R_b R_i}$  и  $(R_b - R_i)N/\sqrt{R_b R_i} \gg 1$ , то интеграл (3) легко вычисляется, и после суммирования по  $k$  окончательно получим:

$$L_{zz} \approx 4(R_b - R_i)N(\ln 2\sqrt{R_b R_i}/\Delta N + \frac{3}{2}). \quad (4)$$

Сравнивая (4) с известными формулами для различных проводников (например, [4]), можно видеть, что она очень похожа на формулу самоиндукции для линейного проводника длиной  $2(R_b - R_i)N$  и радиусом  $\sim \Delta(R_b - R_i)N^2/10\sqrt{R_b R_i}$ . При значениях параметров, средних для экспериментальных образцов:  $N = 60$ ,  $R_b = 8$  мм,  $R_i = 6$  мм,  $\Delta = 0,1$  мм для  $L_{zz}$  получим величину

$$L_{zz} = 110 \text{ см}, \quad (5)$$

причем нетрудно убедиться, что указанные значения параметров удовлетворяют математическим ограничениям, при которых был выполнен данный расчет.

Найдем теперь второй член в выражении (2)  $L_{\varphi\varphi}$ . На основе формулы (1) при тех же допущениях, какие были сделаны при расчете  $L_{zz}$ , получим:

$$L_{\varphi\varphi} \approx \pi R_i (\ln \frac{2R_i}{\Delta} + \frac{3}{2}) + \pi R_b (\ln \frac{2R_b}{\Delta} + \frac{3}{2}) + 2\pi \sqrt{R_b R_i} \ln \frac{R_b + R_i}{R_b - R_i}. \quad (6)$$

Из полученного выражения видно, что первое и второе слагаемые представляют собой самоиндукцию внутреннего и внешнего токовых колец, соответственно, а третье слагаемое – удвоенную взаимоиндукцию этих токовых колец, уменьшенную в 4 раза. Подставляя в эту формулу значения, соответствующие экспериментальным образцам, получим:

$$L_{\varphi\varphi} = 11 \text{ см} + 17 \text{ см} + 8 \text{ см} = 36 \text{ см}. \quad (7)$$

Нет необходимости проводить расчет  $M_{z\varphi}$ , так как магнитное взаимодействие радиальных и круговых токов весьма мало из-за их взаимно перпендикулярного направления в смежных участках.

Итак, самоиндукция модели в целом определяется двумя слагаемыми  $L_{zz}$  и  $L_{\varphi\varphi}$ , вычисляемыми по формулам (4) и (6). Полная величина самоиндукции модели для геометрических параметров, усредненных по серии экспериментальных образцов, получается суммированием выражений (5) и (7):

$$L \equiv 110 \text{ см} + 36 \text{ см} = 146 \text{ см}.$$

Измерения, проведенные с экспериментальными образцами, дали величину  $L_z \sim 100 \text{ см}$ . Учитывая приближенный характер модели и расчетов, можно считать согласие расчета и эксперимента удовлетворительным. Добавочное увеличение индуктивности за счет ферромагнетика с проницаемостью  $\mu$  можно грубо учесть, воспользовавшись формулой для индуктивного элемента, магнитный поток которого полностью замкнут в материале ферромагнетика [4]:

$$L_\mu = \mu \cdot 4\pi N^2 S / \ell, \quad (9)$$

где  $S$  – площадь сечения ферромагнетика внутри обмотки,  $\ell$  – средняя длина магнитопровода,  $N$  – число витков. В данном случае  $\ell = \pi(R_b + R_i)$ ,  $S = (R_b - R_i)\Delta\mu$  ( $\Delta\mu$  – толщина магнитной пленки). Оценить влияние ферромагнетика можно по отношению самоиндукции обмотки к дополнительной индуктивности, обусловленной ферромагнетиком. Эффективное влияние магнетика тем выше, чем больше отношение  $L_\mu / L$ , которое, по крайней мере, должно быть больше единицы.

Из этого условия следует, что для экспериментальных образцов, геометрические размеры которых были приведены выше, проницаемость должна удовлетворять требование:  $\mu > 200$  при толщине  $\Delta\mu \sim 1$  микрон.

Следует отметить, что полученные соотношения не учитывают такие факторы, как поле анизотропии, существование доменов в пленках, дефекты структуры в них, а также взаимное влияние осажденных слоев на физические свойства пленок. Тем не менее при разработке пленочных индуктивных элементов важно хотя бы в первом приближении иметь представление о соотношениях между электромагнитными параметрами и геометрическими размерами электромагнитов в этих элементах.

## Л и т е р а т у р а

1. ЛИСКЕР И.С., ДАНИЛЕВСКИЙ Ю.Л. Способ изготовления катушек индуктивности. АС.СССР № 177472. Изобр.Пром.Обр., Тов.Знаки, 1966, № 1.
2. ТАММ И.Е. Основы теории электричества. М., ГИТТА, 1954.
3. КРАТЦЕР А., ФРАНЦ В. Трансцендентные функции. М., ИЛ, 1963.
4. КАЛАНТАРОВ П.Л., ЦЕЙТИН Л.А. Расчет индуктивностей. М., 1953.

Поступила в редакцию  
15.1.1970 г.